Доклады Академии наук СССР 1973. Том 211, № 1

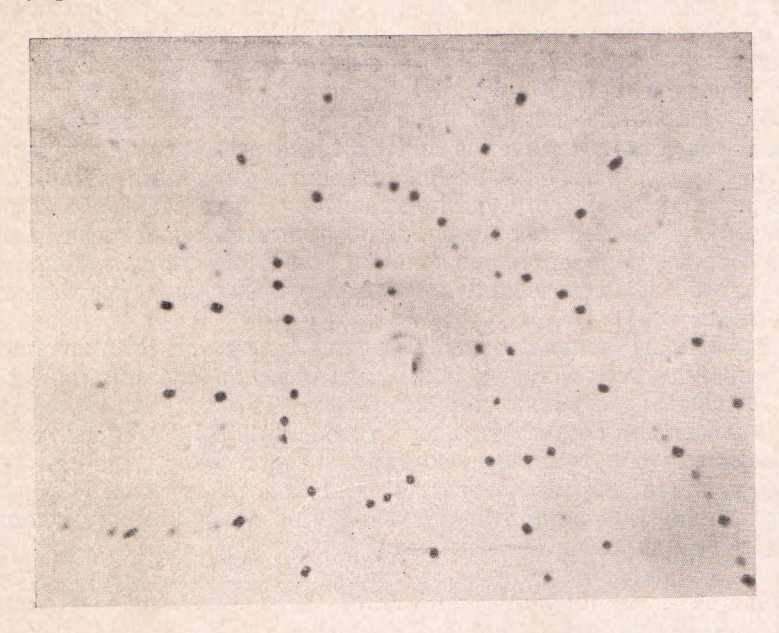
УДК 541.183:669.71

ФИЗИЧЕСКАЯ ХИМИЯ

Академик АН УССР И. Н. ФРАНЦЕВИЧ, В. А. ЛАВРЕНКО, А. А. ЧЕХОВСКИЙ, В. А. КРАВЕЦ, К. В. НАЗАРЕНКО

АДСОРБЦИЯ ВОДОРОДА, КИСЛОРОДА И АЗОТА В МОЛЕКУЛЯРНОМ И АТОМАРНОМ СОСТОЯНИЯХ ПРИЗМАТИЧЕСКОЙ ПЛОСКОСТЬЮ (11 $\overline{2}$ 0) МОНОКРИСТАЛЛА α -Al $_2$ O $_3$

Целью работы было определение адсорбционных характеристик водорода, кислорода и азота в молекулярном и атомарном состояниях на призматической плоскости (1120) монокристалла α - $\mathrm{Al_2O_3}$ (бесцветного сапфира), полученного методом Вернейля, в области температур 100—950° С. Настоящее исследование проведено в связи с установленной ранее зависимостью между адсорбционными и каталитическими свойствами поверхностей, в частности для процесса рекомбинации атомных газов (4). Равновесную адсорбцию газов изучали на высокотемпературной вакуумной установке с кварцевыми пружинными весами по методике (2 , 3) после предварительного эвакуирования в течение 2 час. при $^400^\circ$ до остаточного давления



Puc. 1

10⁻⁶ тор. Генерацию атомов газов осуществляли с помощью присоединенной к системе разрядной трубки с индуктором (высокочастотный генератор с выходной мощностью 150 вт и частотой 7—10 Мгд (¹)).

Образцы представляли собой пластины толщиной 0,6 мм, вырезанные из неправильно ограненного блока параллельно грани (1120). Подготовка поверхности— травление в бисульфите калия при 675° и химическое полирование в расплаве буры (5). Степень совершенства монокристаллов

определяли с помощью метода Фудживары (6 , 7) по рефлексам типа ($30\overline{3}3$), ($22\overline{4}3$) (отмечены на лауэграмме, рис. 1) и линиям λK_{α} Мо ($10\overline{1}1$).

Монокристалл бесцветного сапфира достаточно совершенен: интерференционные пятна на рентгенограммах Фудживары характеризуются равномерным почернением (отсутствие рваного контраста). В плоскости (1120) выявляются макроблоки размером l = 1-6 мм, разориентированные друг относительно друга на углы $\sigma = 4-8'$ (величину σ определяли по методике (6, 7)).

Таким образом, разориентировка макроблоков невелика и построенные по принципу малоугловых дислокационных границ блоки приблизитель-

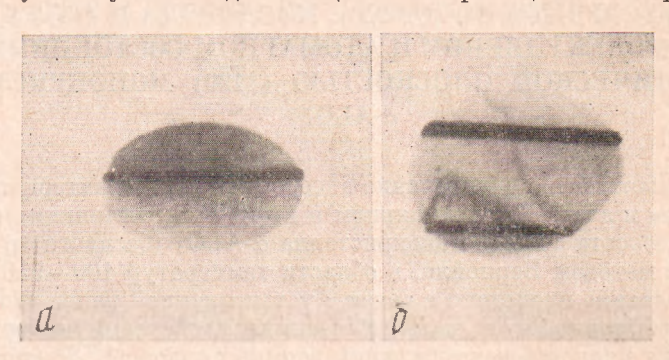


Рис. 2

но равноосны. Макроблоки состоят из микроблоков, для которых $l \sim 30$ м и $\delta \sim 1'$; последние равноосны и беспорядочно разориентированы (рис. 2, а).

Характерной особенностью микрорентгенограмм подвергнутых исследованию образцов α - Al_2O_3 являются замкнутые, слегка вытянутые петли (рис. 2, б), располагающиеся группами, иногда с образованием полос (прямых или изогнутых). Изменение контраста на рефлексах свидетельствует о том, что петли ограничены дислокациями, вдоль линий которых имеет место сегрегация примесей. Судя по характеру контраста (рябь на рефлексах), выделение имеющихся в кристалле примесей происходит также по границам блоков. Плотность дислокаций, соответствующая микромозаичной структуре в исследованном образце кристалла, составляет d= $= 4 \cdot 10^6 \, \text{cm}^-$

На рис. З представлена температурная зависимость стационарных величин адсорбции газов гранью (1120) α-Al₂O₃ при давлении газа в системе 0,2 тор. Изобары адсорбции характеризуют кинетику процесса адсорбция — десорбция для соответствующих газов. При этом наблюдается совпадение прямого и обратного хода кривых и отсутствие гистерезисных петель. Применение для исследования монокристаллического образца и выбор травителя позволили относить величины адсорбции не к удельной, а к геометрической площади поверхности.

Из рис. З видно, что активность грани (1120) α-Al₂O₃ при адсорбции молекулярного и атомарного водорода значительно выше, чем для кислорода и азота (величины $a_{\rm H_2}$ приблизительно в 20 раз больше $a_{\rm O_2}$ и $a_{\rm N_2}$ во всем исследованном интервале температур). Для всех кривых адсорбция — десорбция наблюдается существенное уменьшение количества адсорбированных частиц при увеличении температуры от 100 до 950° (при-

мерно в 4-5 раз).

При переходе от молекулярных газов к атомно-молекулярным смесям, содержащим до 25% атомов (степень атомизации определяли с помощью метода э.п.р.), происходит некоторое снижение величины а. Это свидетельствует о большей вероятности адсорбции с участием атомов, образовавшихся в тлеющем высокочастотном разряде. Однако если для многих металлов установлен диссоциативный характер адсорбции двух атомных газов (8 , 9), то на α -Al $_2$ O $_3$ наблюдается адсорбция молекул H $_2$, O $_2$ и N $_2$ (в противном случае имело бы место совпадение соответствующих изобар для моле-

кулярного и атомарного газа).

Авторами при изучении скорости рекомбинации атомов водорода, кислорода и азота на поверхностях монокристалла α-Al₂O₃ обнаруживаются три адсорбционных состояния (формы адсорбции) для кислорода, азота и две формы — для водорода. При этом о наличии нескольких адсорбционных состояний (или слоев) с отличающимися значениями средней энер-

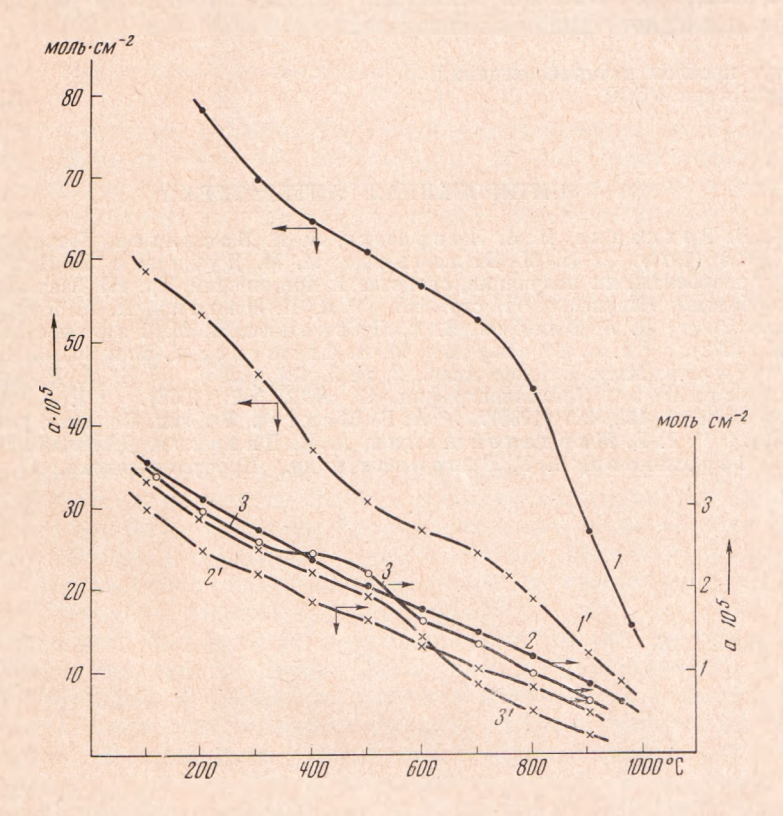


Рис. 3. Температурная зависимость адсорбции газов гранью (1120) монокристалла α -Al₂O₃ для молекулярного (1, 2, 3) и атомарного (1', 2', 3') водорода, кислорода и азота соответственно

гии адсорбции судят по характерным перегибам на экспериментальных кривых температурной зависимости коэффициентов рекомбинации (¹). Величины средней энергии адсорбции для определенного интервала температур зависят прежде всего от энергетической природы центров адсорбции, стспени ненасыщенности свободных валентностей с учетом особенностей химических связей и кристаллографической ориентации поверхности. Следует отметить, что при прочих равных условиях существенное влияние может оказывать природа адсорбата. Так, в (¹⁰) установлено, что при -196° на Al_2O_3 азот хемосорбируется как на Me^- , так и на O-центрах, тогда как водород только на Me-центрах. Наличие в температурном интервале 100-950° двух адсорбционных состояний для водорода на α - Al_2O_3 можно объяснить неоднородностью поверхности грани (1120) с нормальным расположением атомов в узлах решетки (¹¹) и местами сегрегации примесей на выходах дислокаций и границах блоков. Активность различных групп адсорбционных центров на поверхности кристалла существенно разграни адсорбционных центров на поверхности кристалла существенно раз-

лична, если в качестве адсорбата на окисле выступают О2, N2, с одной сто-

роны, и Н2 — с другой.

Следует отметить, что полученные на изобарах адсорбции водорода и азота перегибы в интервале температур 450—650° (рис. 3) соответствуют полученным нами температурам перехода из состояния с одной средней энергией адсорбции в другое для тех же условий опытов.

Из сравнения кривых рис. З можно сделать вывод, что при повышении температуры, по-видимому, происходит десорбция молекул и атомов кислорода и азота с адсорбционных центров поверхности грани, для которых, вследствие большей величины энергии адсорбции водорода, десорбция последнего еще не наблюдается.

Институт проблем материаловедения Академии наук УССР Киев Поступило 25 XII 1972

ШИТИРОВАННАЯ ЛИТЕРАТУРА

⁴ А. В. Рохленко, В. А. Лавренко, А. В. Васильев, Теоретич. и эксп. хим., 7, 625 (1971). ² И. М. Беленькая, М. М. Дубинин, И. И. Криштофорн, Адсорбенты, их получение, свойства и применение, Тр. III Всесоюзн. совещ по адсорбентам, «Наука», 1971, стр. 118. ³ Л. К. Лепинь, А. А. Руплис, там же, стр. 155. ⁴ Л. А. Глебов, В. А. Лавренко, В. М. Тимошенко, ЖФХ, 46, 2133 (1972). ⁵ Л. А. Сhampion, М. А. Сlemence, J. Mat. Sci., 2, 153 (1967). ⁶ Т. Fujiwara, Mem. Defence Acad., 2, № 5, 127 (1963). ⁷ Б. М. Ровинский, Е. Л. Костюкова, Кристаллография, 13, № 2, 302 (1968). ⁸ Л. К. Roberts, Proc. Roy. Soc. A, 152, 445 (1935). ⁹ А. Б. Шехтер, Уч. зап. Ленингр. унив., № 38, 44 (1939). ¹⁰ Р. Е. Мардалейшвили, А. П. Данелия, ДАН, 200, 145 (1971). ¹¹ Г. В. Бережкова, В. Г. Говорков и др., Кристаллография, 17, № 2, 431 (1972).